- 3. *Роберт-Нику М.Ц.* Химия и технология химико-фармацевтических препаратов. М.: Медгиз, 1954, 442 с.
- 4. Van Leer R.A., Paulaltis M.E. // J. Chem. Eng. Data, 1980. V. 25. № 3. P. 257-259.5.
- 5. *Ильин А.П., Ахунов А.Р., Сабирзянов А.Н., Максудов Р.Н., Аляев В.А., Гумеров Ф.М.* // Вестник Казанского технол. ун-та. 1999. №1-2. С.84.
- 6. *Новицкий П.В.*, *Зограф И.А.* Оценка погрешностей результатов измерений. Л.: Энергоатомиздат, 1985. 248 с.
- © Р. Ш. Максудов канд. техн. наук, докторант каф. теоретических основ теплотехники КГТУ; А. Е. Новиков асс. той же кафедры; Е. Н. Тремасов асп. той же кафедры; Ф. М. Гумеров д-р техн. наук, проф., зав. каф. теоретических основ теплотехники КГТУ.

УДК 669.154:536.3

И. Л. Голубсва, В. В. Сагадеев, К. Б. Панфилович ТЕПЛОВОЕ ИЗЛУЧЕНИЕ ЖИДКИХ МЕТАЛЛОВ

Уточнена единая обобщенная зависимость для расчета полусферических интегральных потоков теплового излучения жидких металлов. Установлена периодичность теплового излучения жидких металлов и его взаимосвязь с характеристикой прочности химической связи - температурой Дебая.

В работе уточнена расчетная зависимость для теплового излучения жидких металлов на основе теории размерностей [1], согласно которой

$$U = \varphi(S/R), \tag{1}$$

где U- относительный поток теплового излучения, S - энтропия металла, R- газовая постоянная.

Тепловое излучение расплавов относится к 1 м² поверхности. При изменении температуры изменяется число частиц металла, участвующих в формировании потока теплового излучения. Отношение плотности металла к массе частицы ρ/m есть число частиц в единице объема. Величина $(\rho/m)^{2/3}$ пропорциональна числу частиц, приходящихся на 1 м² приповерхностного слоя. Если плотность полусферического потока теплового излучения q разделить на $(\rho/m)^{2/3}$, то комплекс q $(\rho/m)^{2/3}$ будет отнесен к частице на поверхности. В расчетах удобнее вместо массы частицы m использовать молекулярную массу $\mu = mN_A$, тогда $q^* = q(\mu/\rho)^{2/3}$. Относительный поток теплового излучения $U = q^*/q_1$. Масштабный поток $q_1^* = [q(\mu/\rho)^{2/3}]_1$ для каждого жидкого металла брался равным величине q^* при постоянном для всех металлов значении энтропии S/R = 10. Полусферическая интегральная

степень черноты для расчета q находилась по нормальным интегральным степеням черноты по методике [2].

Результаты применения зависимости (1) для обработки наших опытных данных и данных [3 - 8] по интегральным полусферическим потокам теплового излучения жидких металлов представлены на рис. 1. Часть данных для удобства изображения смещена вниз на 0.5 единицы (линия B), единицу (линия C), 1.5 единицы (линия D), 2 единицы (линия E) и вверх на 0.5 единицы (линия F), единицу (линия G) и 1.5 единицы (линия H) шкалы вертикальной оси. Усредняющая прямая обобщенной зависимости соответствует уравнению

$$U = 5.49 \cdot 10^{-7} exp(1.4414S/R). \tag{2}$$

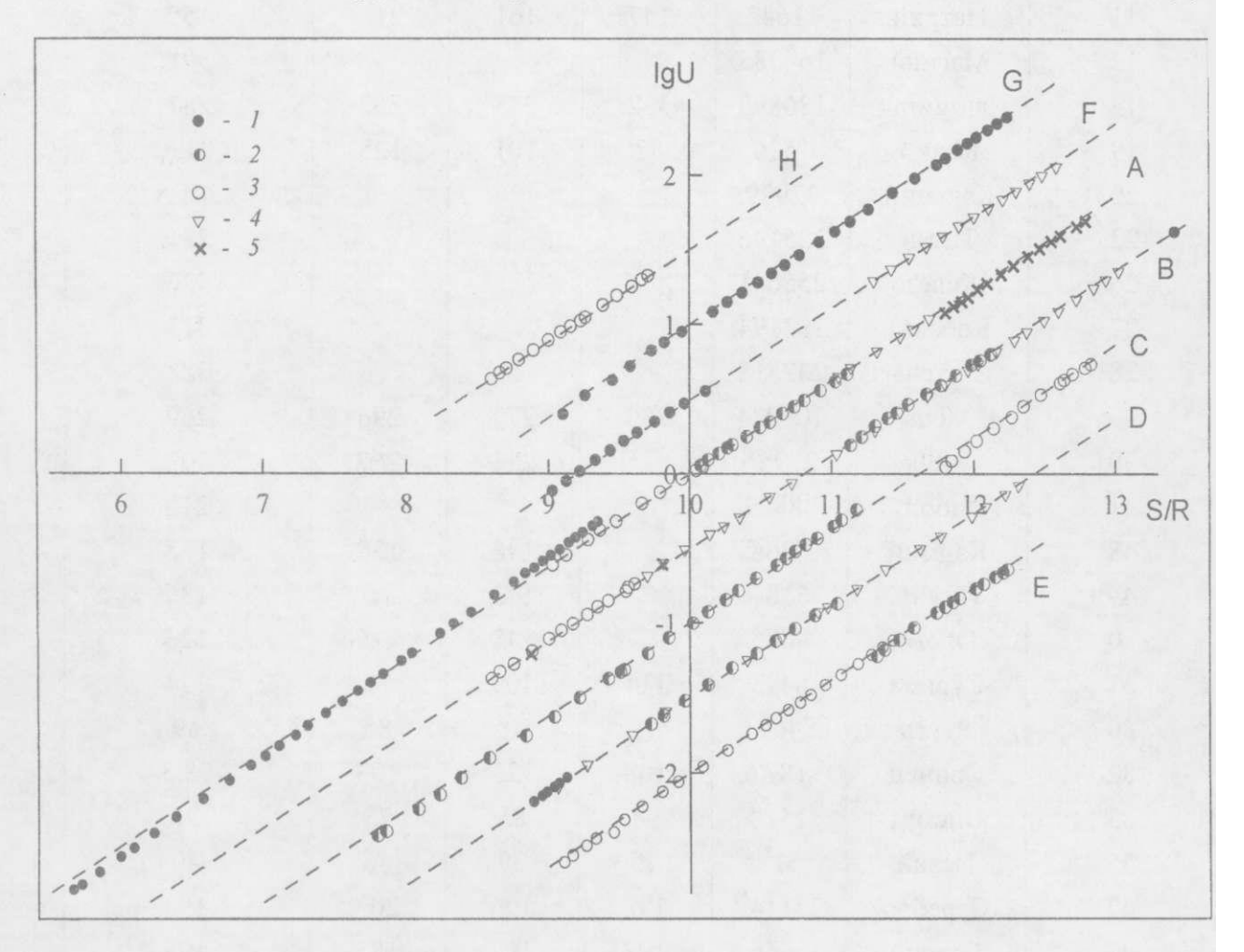


Рис. 1 - Относительные потоки теплового излучения чистых жидких металлов:

| Линии | Α | В | C | D | E | F | G | Н |
|-------|--------|--------|--------|--------|--------|----|----|----|
| 1 | Li [6] | Nb [7] | | Mg [6] | | Zn | In | |
| 2 | Cu [6] | Pb [6] | Na [6] | Cd [6] | Bi [6] | | | |
| 3 | Zn [6] | AI [6] | Sb [6] | | In [6] | | | Al |
| 4 | Ca [6] | Sn [6] | | K[6] | | Bi | | |
| 5 | Sb | Hg [8] | | | | | | |

Энтропии жидких металлов взяты из справочников [9–11] и баз данных IVTANTERMO и Тегга. Масштабные потоки при постоянном значении энтропии S/R = 10 представлены в табл. 1.

Таблица 1 - Масштабные потоки и температуры Дебая жидких металлов

| Номер элемента | Элемент | 91, BT/M ² | <i>Θ</i> , К по [13] | Ø', K | Ø", K | <i>O</i> , К по уравнению (3) |
|-------------------|----------|--------------------------|----------------------|-------|-------|-------------------------------|
| 3 | Литий | 616345 | | | A | 419 |
| 11 | Натрий | 11642 | 147 | 161 | 215 | 155 |
| 12 | Магний | 164385 | | | | 301 |
| 13 | Алюминий | 136890 | 332 | 335 | 262 | 287 |
| 19 | Калий | 1536 | 82 | 101 | 125 | 93.6 |
| 20 | Кальций | 32939 | | | | 201.5 |
| 22 | Титан | 125146 | | | | 281 |
| 26 | Железо | 255641 | | | | 336 |
| 27 | Кобальт | 193194 | | | | 313 |
| 28 | Никель | 232518 | | | | 328 |
| 29 | Медь | 105924 | 280 | 273 | 296 | 269 |
| 30 | Цинк | 27951 | | 233 | 267 | 193 |
| 41 | Ниобий | 38829 | | | | 210 |
| 48 | Кадмий | 7266 | | 148 | 130 | 138 |
| 49 | Индий | 5101 | | 143 | 101 | 126 |
| 50 | Олово | 4666 | | 143 | 116 | 123 |
| 51 | Сурьма | 6493 | 114 | 109 | 96 | 134 |
| 80 | Ртуть | 467 | | 105 | 85 | 69 |
| 82 | Свинец | 1877 | 108 | 123 | 103 | 98.5 |
| 83 | Висмут | 1518 | 94 | 85 | 73 | 93 |
| 55 | Цезий | 51*) | 40 | 39 | 46 | 40 |
| 47 | Серебро | 27114*) | 192 | 196 | 203 | 192 |
| 31 | Галлий | 30666*) | 198 | 198 | 185 | 198 |
| 79 | Золото | 6807*) | | 150 | 143 | 135 |
| 81 | Таллий | 1993*) | Mrs. chin | 115 | 99 | 100 |

^{*)} Оценка авторов по уравнению (3) и рис. 4.

Большинство экспериментальных данных воспроизводится уравнением (2) с точностью $\pm 3 - \pm 8$ %, что не превышает погрешность их измерений. Больший разброс получен для лития (до 14%). Причина, возможно, в его чистоте. Использовался электролитический

литий марки ЛЭ1 ГОСТ8774-75 (содержание компонентов, %: Li -98, Na -0.8, K -0.2, Mg -0.3, Ca -0.05, Al -0.03, Fe -0.01, Mn -0.005, SiO₂ -0.2, N -0.05). Влияние примесей малой концентрации на тепловое излучение жидких металлов не изучено.

Тепловое излучение переходных металлов (железо, кобальт, никель) также имеет большие отклонения от уравнения (2). Связано это, в первую очередь, с тем, что в справочных изданиях теплоемкость этих жидких металлов, используемая для расчета энтропии, принимается не зависящей от температуры. По различным источникам теплоемкости железа значительно отличаются: $c_p = 43.08 \, \text{Дж/(моль·К)}$ [10]; 46 Дж/(моль·К) (база данных Тегга); 41.8 Дж/(моль·К) [12]. Авторы статьи [12] приводят рассчитанные через парную функцию распределения значения энтропии жидких железа, кобальта и никеля. Относительные потоки излучения, найденные по энтропиям, приводимым в указанных источниках, имеют значительные отклонения от усредняющей прямой как в большую, так и в меньшую сторону (рис. 2). Для расчета масштабных потоков q_1 железа, кобальта и никеля

приняты энтропии по

данным [12].

При плавлении полуметаллов и полупроводников происходит частичное разрушение ковалентных связей. При дальнейшем повышении температуры частично или полностью разрушаются остатки ковалентной связи, продолжают расти число свободных электронов и координационное число [13]. Сложный характер изменения структуры расплавов приводит к эффектам послеплавления - аномалии структурночувствительных свойств (вязкости, скорости ультразвука). Этим объясняются большие занижения относительных потоков излучения для сурьмы и

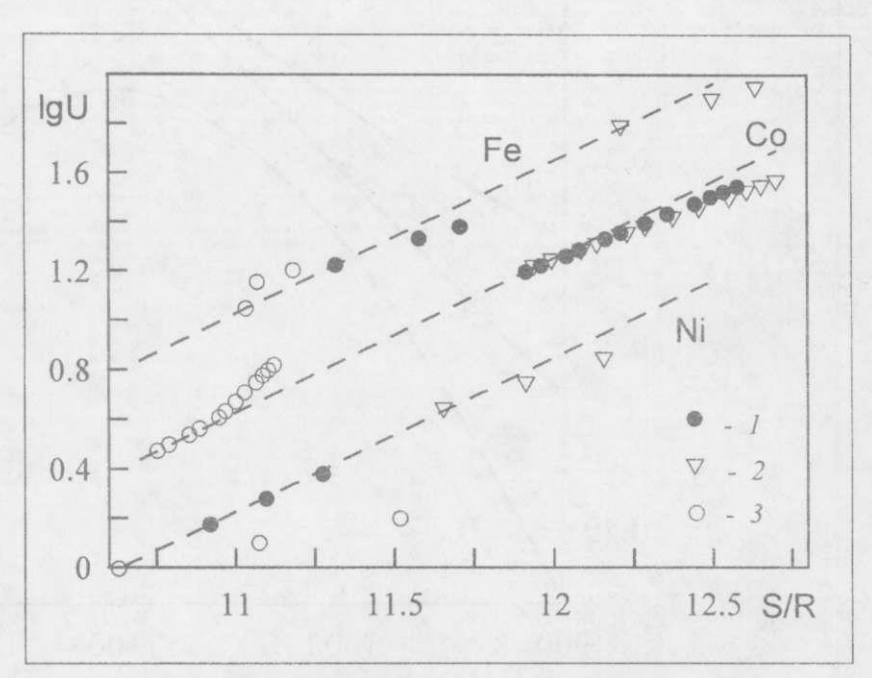


Рис. 2 - Относительные потоки теплового излучения для железа, кобальта и никеля при значениях энтропии: по данным [12] (1 — экспериментальные значения, 2 — рассчитанные через парную функцию распределения); базы данных Terra (3)

висмута от усредняющей линии при температурах, близких к плавлению. Зависимость скорости ультразвука от температуры для жидких металлов линейна вплоть до температуры плавления. При наличии эффектов послеплавления эта зависимость нарушается. У сурьмы, например, с понижением температуры до 1100К скорость ультразвука а проходит через максимум и затем резко снижается к точке плавления (рис. 3). Поскольку масштабный поток пропорционален температуре Дебая, а следовательно, и скорости ультразвука в четвертой степени, то его изменение учтено для сурьмы и висмута поправочным коэффициентом у, равным отношению действительной скорости ультразвука к линейно экстраполирован-

ной на интервал послеплавления из области высоких температур в четвертой степени. Коэффициент у меньше единицы и с ростом температуры стремится к ней (табл. 2).

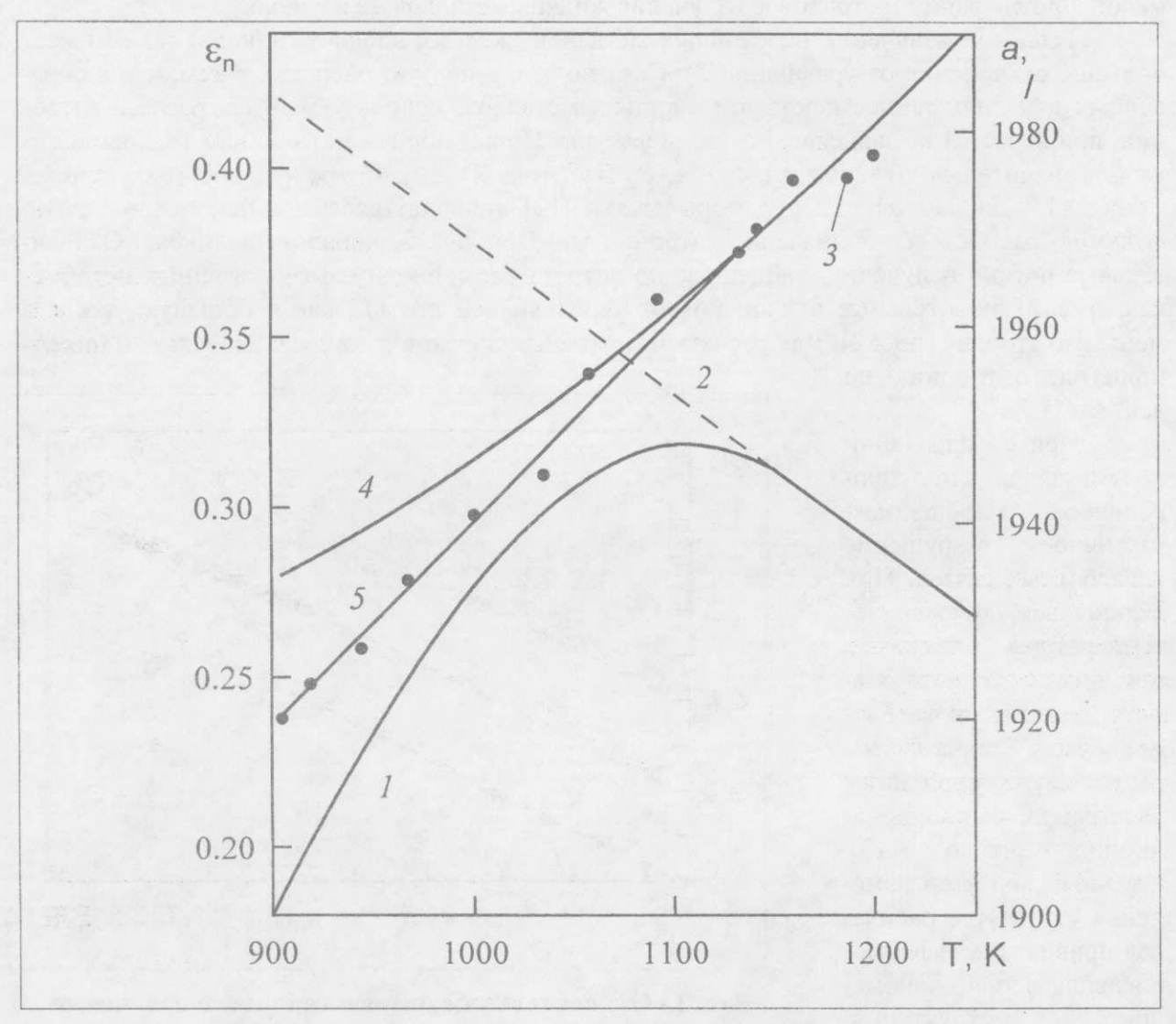


Рис. 3 - Скорость ультразвука (1, 2) и нормальная интегральная степень черноты (3-5) жидкой сурьмы вблизи температуры плавления: 1, 3 – экспериментальные данные [13] и [6] соответственно; 2 – линейная экстраполяция на низкие температуры; 4 – расчет по уравнению (2) при постоянном масштабном потоке; 5 – то же, но при скорректированном масштабном потоке

Таблица 2 - Коэффициенты у сурьмы и висмута

| Элемент | $T-T_{nn}$, K | | | | | | | |
|---------|------------------|-------|-------|-------|------------|-------|--|--|
| элемент | 0 | 50 | 100 | 150 | 200 | 250 | | |
| Sb | 0.841 | 0.896 | 0.930 | 0.964 | 0.989 | 1.00 | | |
| Bi | 0.967 | 0.977 | 0.991 | 1.00 | August - A | -1473 | | |

Масштабные потоки обнаруживают периодичность (рис. 4), типичную для ряда физико-химических свойств элементов. По характеру кривых и чередованию максимумов наблюдается удовлетворительная корреляция с аналогичной зависимостью температур Дебая [13]. Четвертый, пятый и шестой периоды периодического закона имеют пики, форма которых качественно одинакова. С увеличением номера периода абсолютные значения q_1 уменьшаются.

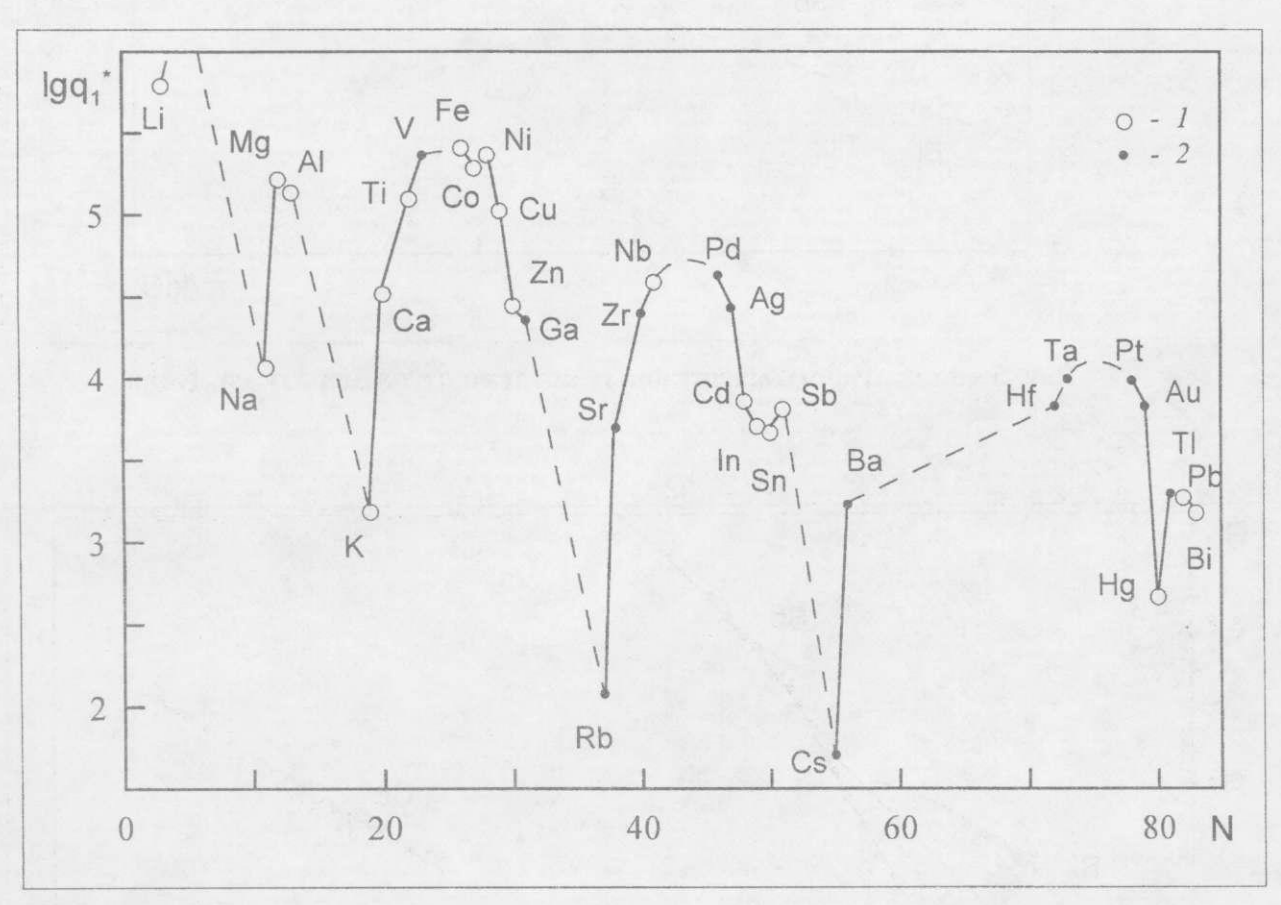


Рис. 4 - Периодичность масштабных потоков: 1 – опытные данные; 2 – оценка авторов

Масштабный поток пропорционален температуре Дебая в четвертой степени. Температура Дебая характеризует прочность химической связи. Применение ее к расплавам согласно [13] даже предпочтительнее, чем к твердым телам. Масштабные потоки для жидких металлов в зависимости от температуры Дебая [13] группируются в логарифмических координатах около прямой с угловым коэффициентом 4 (рис. 5).

$$lgq_1^* = 4 lq\Theta - 4.7. (3)$$

Температуры Дебая для жидких металлов, рассчитанные по скорости ультразвука, приведены в [13] (табл. 1). Температуры Дебая, снятые с графика небольшого формата, обозначены как Θ' (по ультразвуку) и Θ'' (по вязкости).

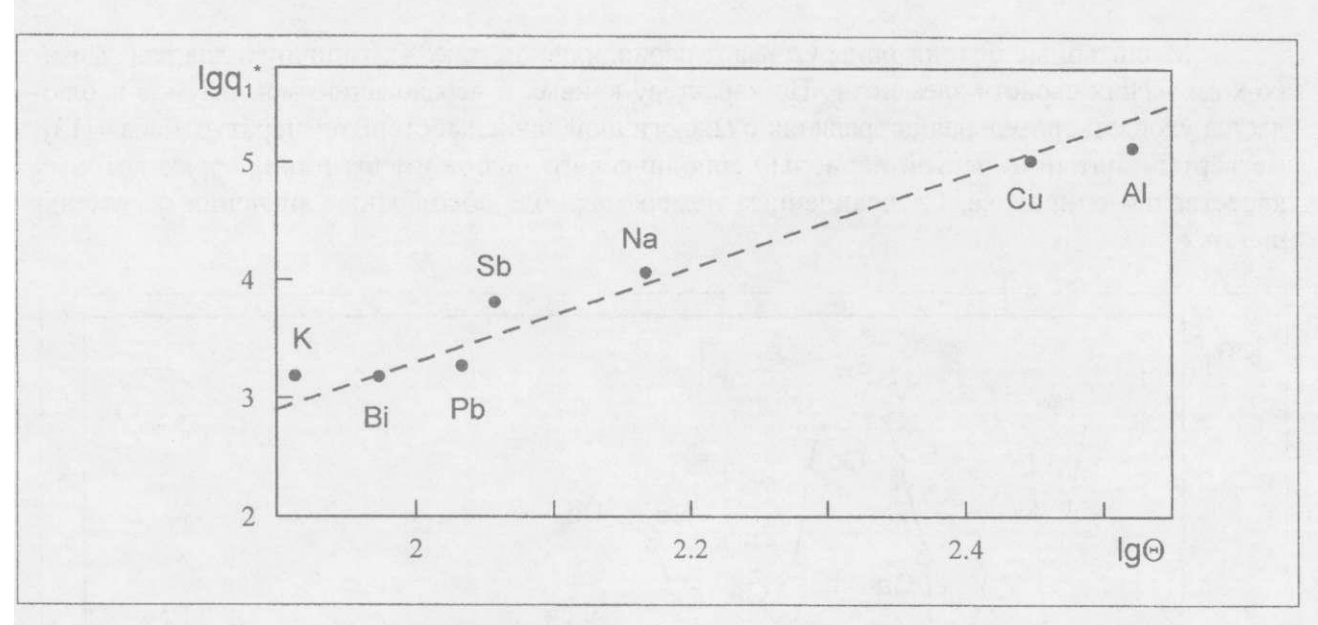


Рис. 5 - Зависимость масштабных потоков от температуры Дебая

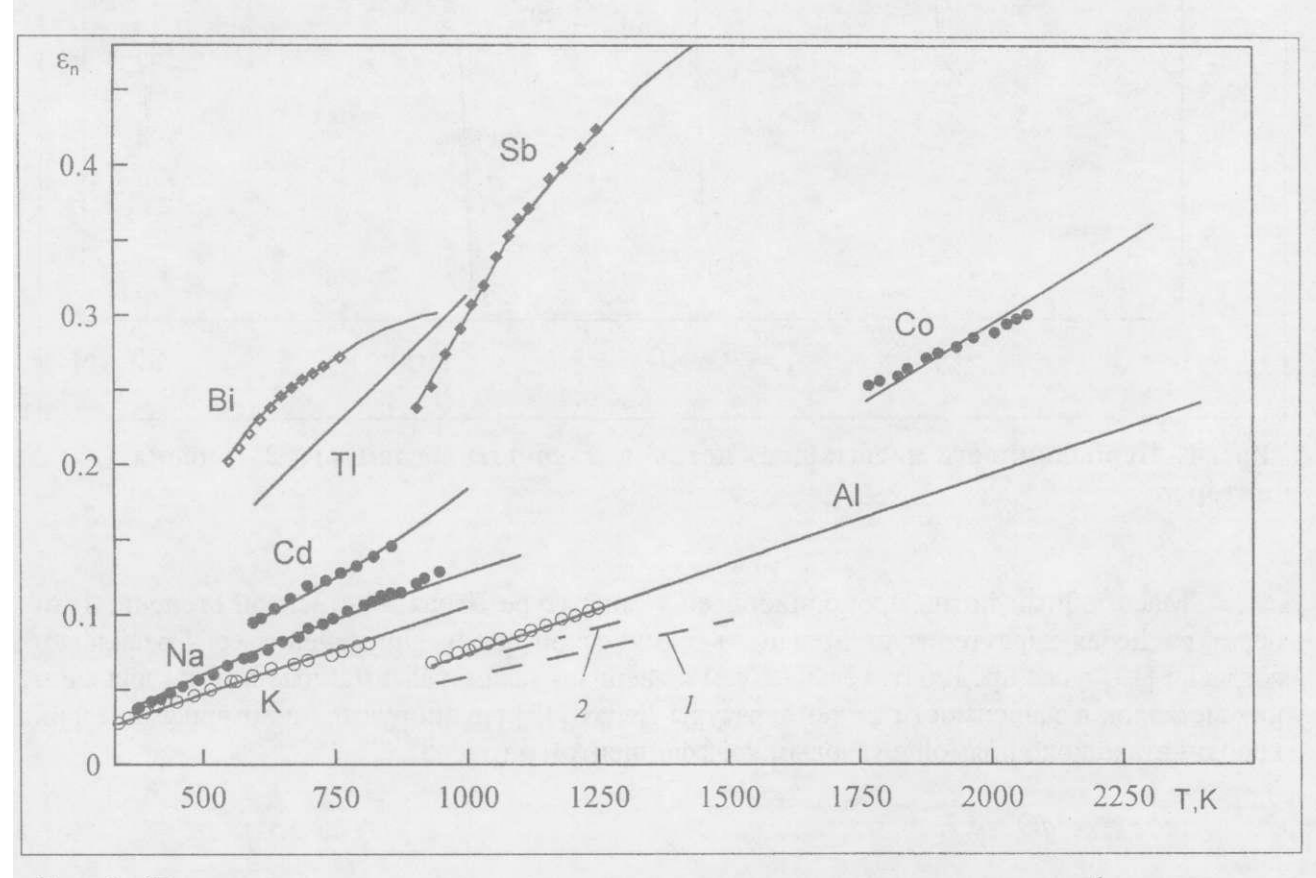


Рис. 6 - Нормальные интегральные степени черноты жидких металлов: I — степень черноты алюминия по [3]; 2 — степень черноты алюминия по [4] (точки — эксперимент, линии — расчет по уравнению (2))

Уравнение (3) и рис. 5 могут служить для предварительной оценки масштабных потоков по температуре Дебая и наоборот. В последней колонке табл. 1 представлены рассчитанные по уравнению (3) температуры Дебая жидких металлов. Найденные по уравнению (3) масштабные потоки позволяют прогнозировать степени черноты не исследованных жидких металлов. В качестве примера на рис. 6 дан прогноз нормальных интегральных степеней черноты таллия.

Уравнение (2) можно применять для нахождения степеней черноты металлов при температурах, не охваченных экспериментом. Рассчитанные и экспериментальные нормальные интегральные степени черноты ϵ_n (рис. 6) согласуются в пределах погрешности измерений.

Литература

- 1. Панфилович К.Б. // ТВТ. 1995.Т.33.№ 1. С. 155 158.
- 2. *Siegel R.*, *Howell J.R.* Thermal Radiation Heat Transfer. New York: McGraw-Hill Book Company, 1972.934c.
- 3. Шварев КМ., Байтураев С.Х., Баум Б.А. // ИФЖ. 1983. Т.44. № 2. С. 322 326.
- 4. Шварев КМ., Байтураев С.Х., Баум Б.А. // ИФЖ. 1984. Т.47. № 5. С. 823 827.
- 5. Шварев КМ., Баум Б.А., Гельд П.В. // ТВТ. 1973. Т. 11. № 1. С. 78 83.
- 6. Панфилович КБ., Сагадеев В В. // Пром. теплотехника. 1990. Т.19. № 5. С. 66 71.
- 7. *Андреева Р.Г., Игнатова С.И., Розанова Н.С.* Свойства и применение металлов и сплавов для электровакуумных приборов. М.: Наука, 1973. 225с.
- 8. Блох А.Г. Основы теплообмена излучением. М.: Госэнергоиздат, 1962. 332 с.
- 9. Термодинамические свойства индивидуальных веществ: Справочник / Под ред. $B.\Pi.\Gamma$ лушко: В 4-х т. М.: Наука, 1982. 623 с.
- 10. Рябин В.А., Остроумов М.А., Свит Т. Φ . Термодинамические свойства веществ. Справочное издание. Л.: Химия, 1977. 392 с.
- 11. Термодинамические свойства неорганических веществ. Справочник / Под ред. $A.\Pi.3e\phi upo в a.$ М.: Атомиздат, 1965. 460 с.
- 12. Казимиров В.П., Шовский В.А., Рева В.М., Сокольский В.Э., Баталин Г.И. II ФММ. 1986. Т.61. № 3. C. 478-482.
- 13. Глазов В.М., Айвазов А.А. Энтропия плавления металлов и полупроводников. М.: Металлургия, 1980. 175 с.
- О **И. JI.** Голубева ст. преп. каф. инженерной графики **КГТУ; В. В. Сагадеев** канд. техн. наук, доц. той же кафедры; **К. Б. Панфилович** д-р техн наук, проф. **КГТУ.**